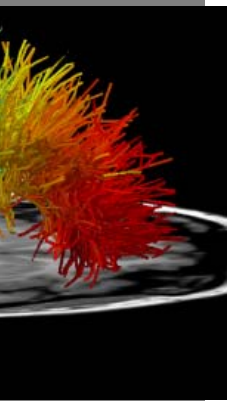
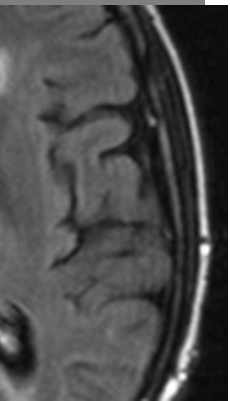
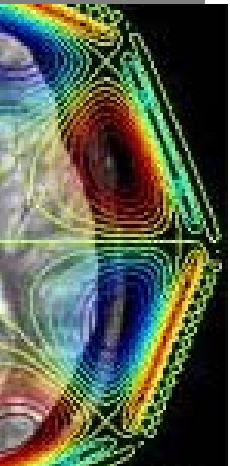


Programm

16. Jahrestagung
Deutschen Sektion der
ISMIRM e.V.

19./20. 09.2013
Freiburg im Breisgau



Donnerstag 19.09.2013

Registrierung, Anbringung der Poster

12:30

Begrüßung

Prof. Harald H. Quick, Präsident der Deutschen Sektion der ISMRM

Prof. Michael Bock, Universitätsklinikum Freiburg

Prof. Jürgen Hennig, Universitätsklinikum Freiburg

12:45

Plenarvortrag

Prof. Frank Rühli, Universität Zürich

Paläoradiologie: Antike Mumien im modernen MR.

13:30 G1-G5

Finalisten des Gorter-Preises

- G1: **Alexander Brunner**, Heidelberg S.13
Projektionsbasierte 3D-Echtzeit-Darstellung von Blutgefäßen in der interventionellen Magnetresonanztomographie.
- G2: **Andreas Deistung**, Jena S.19
Susceptibility Weighted Imaging and Quantitative Susceptibility Mapping at 3 Tesla and Beyond: New Approaches and Applications.
- G3: **Daniel Giese**, Köln S.24
Beschleunigung und Kalibrierung von Phasenkontrast-MRT.
- G4: **Neele Hübner**, Freiburg S.29
Characterization of Brain Functional and Structural Connectivity Changes in a Mouse Model of Demyelination.
- G5: **Moritz Zaiß**, Heidelberg S.35
Exchange-Dependent Relaxation in the Rotating Frame for Slow and Intermediate Exchange – Modeling Off-Resonant Spin-Lock and Chemical Exchange Saturation Transfer.

Wissenschaftliches Programm

15:10	Meet the Company	
16:00 P1-P10	Posterpräsentation und Pause im Posterraum	
17:00 V1-V6	Neue Anwendungen in der präklinischen MRT	
V1:	Thomas Ernst , Hamburg <i>Präklinische MRCP bei 7.0 T: Gallengangsdarstellung in einem Mausmodell der primär sklerosierenden Cholangitis (PSC).</i>	S.40
V2:	Philipp Bovenkamp , Münster <i>4D-Phasenkontrast-MR zur Messung von Flussgeschwindigkeiten in der Maus.</i>	S.42
V3:	Katharina Göbel , Freiburg <i>MR Microscopy of Organotypic Hippocampal Slice Cultures: A First Look at the Anatomy.</i>	S.44
V4:	Felix Kurz , Heidelberg <i>Spin-Echo-Relaxationszeit für magnetisch markierte Zellen und Eisenoxid-Agglomerationen.</i>	S.46
V5:	Moritz Braig , Freiburg <i>Detection of activated platelets in reperfused myocardium through micro particles of iron oxide with MRI in mice after temporary ligation of the LAD.</i>	S.48
V6:	Saeedeh Amirmohseni , Münster <i>Charakterisierung eines Schlaganfall-Schmerz- Modells durch MRS und fMRT.</i>	S.50
18:30	Ende des Wissenschaftlichen Programms	
19:15	Historix-Altstadtführung (Anmeldung erforderlich)	
20:30	Abendveranstaltung im Martin's Bräu	

Wissenschaftliches Programm

Freitag 20.09.2013

8:30

Plenarvortrag

Dr. Maja Cassidy, Delft University of Technology
In vivo MRI with hyperpolarized silicon particles.

9:15

V7-V11 Neue Verfahren und Techniken in der MR-Bildgebung

- V7: **Marius Menza**, Freiburg
Biventrikuläre Bewegungsanalyse des Herzens mittels Tissue Phase Mapping. S.52
- V8: **Tim Klasen**, Münster
In Vivo Myelinwasser Quantifizierung. S.54
- V9: **Deniz Ulucay**, Bonn
Darstellung elastischer Eigenschaften des Gehirns mit MR-Rheologie. S.56
- V10: **Christian Lückerath**, Frankfurt
In Vivo MR Spectroscopy shows reduced inhibitory GABA of the thalamus in juvenile myoclonus epilepsy associated with selective neuronal impairment. S.58
- V11: **Marco Vicari**, Freiburg
Effect of Physiological Weight-Bearing and Hyperlordosis Posture on Spinal Canal and Neuroforamina Morphology in Patients with Degenerative Spondylolisthesis - an MRI Study. S.63

10:45

Pause im Posterraum

Wissenschaftliches Programm

11:15 V12-V16 Hardware- und Sequenzentwicklungen

- V12: **Fabian Kording**, Hamburg
*Evaluation of an MR Compatible Doppler
Ultrasound Device as a New Trigger Method in
Cardiac MRI: A Quantitative Comparison.* S.65
- V13: **Maryna Babayeva**, Lausanne
*Modellbasierte Bewegungsquantifizierung durch
Mehrkanal-FID-Navigatoren.* S.67
- V14: **Martin Eschelbach**, Tübingen
NMR Field Probes for MRI at 9.4 T. S.69
- V15: **Hans Weber**, Freiburg
MR-Bildgebung in gekrümmten Schichten. S.71
- V16: **Andreas Wetscherek**, Heidelberg
*Diffusion MRI: Flow Compensated IVIM Imaging to
Probe the Microvasculature.* S.76

12:30 **Mittagspause**

13:00 **Mitgliederversammlung**

13:30 V17-V20 X-Kern-Bildgebung und andere Nicht-¹H- Methoden

- V17: **Markus Plaumann**, Magdeburg
Hyperpolarisation langkettiger Alkene mittels PHIP. S.81
- V18: **Nadia Benkhedah**, Heidelberg
Biexponentiell gewichtete Natrium-MRT. S.83
- V19: **Veronika Völker**, Frankfurt
*Untersuchung zum pH-Wert bei rezidivierenden
Hirntumoren unter antiangiogener Therapie.* S.87

Wissenschaftliches Programm

V20: **Matthias Malzacher**, Mannheim
A double resonant ($^{23}\text{Na}/^1\text{H}$) RF resonator system for human abdominal MRI at 3T. S.89

V21-V24 Rekonstruktion und Analyse

V21: **Rebecca Ramb**, Freiburg
Rauschanalyse in k -Raum basierter paralleler Bildgebung: Von räumlichen zu zeitlich-räumlichen GRAPPA-Kernen. S.91

V22: **Vladimir Golkov**, Garching
Reconstruction, Regularization, and Quality in Diffusion MRI Using the Example of Accelerated Diffusion Spectrum Imaging. S.93

V23: **Stefan Kroboth**, Graz
Fast Regularized Reconstruction for PatLoc MR Imaging using Total Generalized Variation and GPUs. S.95

V24: **Maddalena Strumia**, Freiburg
Automated Brain White Matter Lesion Detection in Multiple Sclerosis. S.100

15:40

Preisverleihungen: **Gorter-Preis**
Bestes Poster
Bester Vortrag

Posters

- P01: **Sebastian Bär**, Freiburg
Phase Encoding Gradient Induced Diffusion Effects on the SSFP Steady-State Signal S.102
- P02: **Kevin Tschiesche**, Jena
Validierung eines Pedalergometers für standardisierte 31P-MR spektroskopische Untersuchungen belastungs-induzierter Änderungen im Energiestoffwechsel der Wadenmuskulatur S.104
- P03: **Sebastian Hupfeld**, Magdeburg
Wirbelstromkompensation der Shim-Spulen zweiter Ordnung bei 7 Tesla S.106
- P04: **Denis Kokorin**, Freiburg
Lokalisierte Mehrschichtanregung mit parallelem Senden für EPI-Anwendungen in vivo S.108
- P05: **Li Huang**, Jena
Conductivity Imaging Using An Ultra-short Echo Time Sequence S.110
- P06: **Thierry Fredrich**, Freiburg
Faserdichten Unterschätzung in Global Tracking S.112
- P07: **Jonas Bürk**, Freiburg
On the Effective Role of an Extremity-Dedicated MR Scanner in the Diagnostics of Trauma Patients S.114
- P08: **Nicolas Huch**, Magdeburg
Schichtselektiver Shim mit Gradienten erster und zweiter Ordnung bei 7 Tesla S.116
- P09: **Esmeralda Ruiz Pujadas**, Freiburg
Semi-automated Segmentation for 2D Cardiac MR Images Using Level Set and Analytical Issues of the Method S.118
- P10: **Thomas Lickert**, Freiburg
¹³C-hyperpolarization by Transferring Parahydrogen Spin Order on a 7 T MRI-System S.120
- P11: **Tetiana Dadakova**, Freiburg
Influence of Image Noise on MR Thermometry: A Simulation S.122
- P12: **Jens Groebner**, Freiburg
Katheter mit Aktiven Empfangsspulen: Simulationen und Ergebnisse Eines 1.5 T-Prototypen S.125